Rotor 55

- Français
- English

Downloadable files
×

Open access

Git project

About

Rotor 55 is part of a research program to study fan stages suitable for use in engines for quiet powered lift aircraft. Experimental studies have been conducted on fan stages suitable for use in engines for quiet powered lift aircraft using the externally blown flap. The externally blown flap aircraft requires a large flow of low velocity air for effective lift and low noise during take-off and landing. To meet the low noise requirement, the fans will be required to have low tip speed and low-pressure ratio. The pressure ratios of interest in the program range from 1.15 to 1.4. Rotor 55 has a pressure ratio of 1.2.

* Original technical report [(cite:lewis1973design>Lewis G. W., Moore R. D. «Performance of a 1.20-pressure-ratio STOL fan stage at three rotor blade setting angles » 1973. pdf)]:

```
@TechReport{lewis1973design,
  author           = {Lewis, George W. and Moore, R. D. and Kovich, George},
  date             = {1973},
  institution      = {NASA Lewis Research Center Cleveland, OH, United
States},
  title            = {Performance of a 1.20-pressure-ratio STOL fan stage at
three rotor blade setting angles},
  number           = {NASA-TM X-2837},
  url              = {https://ntrs.nasa.gov/citations/19730018974},
}
```

- Picture :

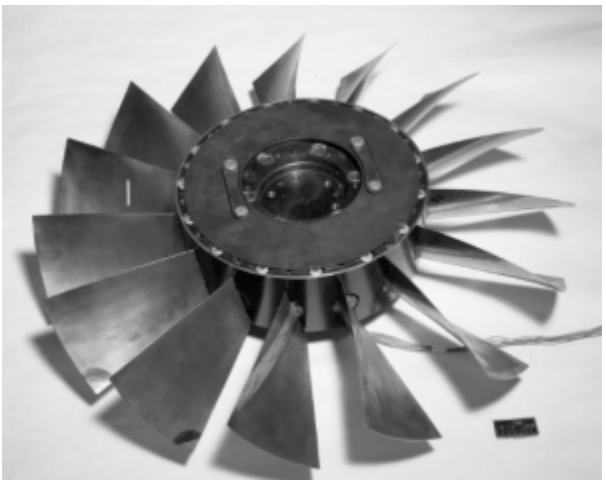


Fig1. https://catalog.archives.gov/id/17426841

- ```
  @Misc{marton1975records,
  author   = {Marton, J.},
  title    = {STOL short take off landing 55 GE General Electric 15 blade
  rotor showing blade damage. {R}ecords of the {N}ational {A}eronautics and
  {S}pace {A}dministration, 1903 - 2006. {P}hotographs relating to agency
  activities, facilities and personnel, 1973 - 2013},
  year     = {1975},
  url      = {https://catalog.archives.gov/id/17426841}
  ```

Useful documents

- downloadable models (Git project)
  - NASA technical report (.pdf)
  - geometrical parameters file (.csv), usable as input of OpenMCAD[(cite:Kojtych_2022_gene_aubes>Kojtych S., Batailly A. «OpenMCAD, an open blade generator: from Multiple-Circular-Arc profiles to Computer-Aided Design model» 2022. open source code)] to generate reference blade models.

Reference blade

The **reference blade** is defined with multiple-circular arc profiles[(cite:Crouse_1969_computer)] given in the original NASA report[(cite:lewis1973design)]. Corresponding models are computed with the open-source code OpenMCAD[(cite:Kojtych_2022_gene_aubes)].

Geometry

The geometry of rotor 55 is described in the original NASA report by the following tables. The length are in centimeters and the angles in degrees.
  ```

TABLE IV. - BLADE GEOMETRY FOR ROTOR 55

RP	PERCENT SPAN	RADII RI	RADII RO	BLADE ANGLES KIC	BLADE ANGLES KTC	BLADE ANGLES KOC	CONE ANGLE
TIP	0.	25.400	25.400	50.40	41.08	32.00	0.057
1	5.	24.730	24.714	50.29	38.96	27.64	-0.124
2	10.	24.026	24.028	50.05	37.05	24.05	0.057
3	15.	23.323	23.343	49.67	35.44	21.21	0.152
4	30.	21.172	21.285	47.72	30.64	13.56	0.892
5	50.	18.320	18.542	43.95	24.18	4.41	1.806
6	70.	15.539	15.799	39.62	17.42	-4.79	2.239
7	85.	13.541	13.741	34.40	11.69	-11.02	1.813
8	90.	12.907	13.056	32.39	9.69	-13.01	1.375
9	95.	12.288	12.370	30.27	7.66	-14.95	0.769
HUB	100.	11.684	11.684	28.06	5.61	-16.84	0.057

RP	BLADE THICKNESSES TI	BLADE THICKNESSES TM	BLADE THICKNESSES TO	AXIAL DIMENSIONS ZI	AXIAL DIMENSIONS ZMC	AXIAL DIMENSIONS ZTC	AXIAL DIMENSIONS ZO
TIP	0.019	0.239	0.019	-0.636	2.690	2.690	6.522
1	0.025	0.264	0.025	-0.671	2.650	2.650	6.546
2	0.031	0.293	0.031	-0.685	2.639	2.639	6.588
3	0.036	0.326	0.036	-0.680	2.658	2.658	6.644
4	0.050	0.441	0.050	-0.659	2.648	2.648	6.597
5	0.063	0.591	0.063	-0.572	2.669	2.669	6.455
6	0.083	0.741	0.083	-0.371	2.755	2.753	6.284
7	0.091	0.839	0.091	-0.206	2.824	2.824	6.116
8	0.090	0.862	0.090	-0.142	2.852	2.852	6.057
9	0.088	0.881	0.088	-0.073	2.881	2.881	5.998
HUB	0.084	0.896	0.084	0.	2.912	2.912	5.938

Aerodynamic design

	unit	values
pressure ratio	[-]	1.2
mass flow	[kg/s]	31.2
tip speed	[m/s]	213.3
tip solidity	[-]	0.89
aspect ratio	[-]	1.43
number of blades	[-]	15
rotative speed	[rad/s]	839.85

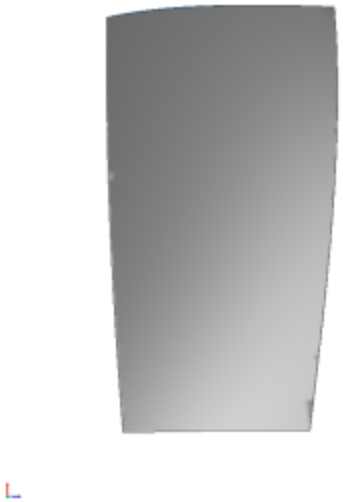
Material properties

The original material of the rotor 55 is not defined in the NASA report. A generic titanium Ti-6Al-4V is considered:

	unité	valeurs
alloy	[-]	Ti-6Al-4V
Young's modulus	[GPa]	108
density	[kg/m3]	4400
Poisson's ratio	[-]	0.34
yield stress	[GPa]	0.824

CAD model

The CAD model is computed with the open source code OpenMCAD[(cite:Kojtych_2022_gene_aubes)].



pressure side



suction side

Natural frequencies

First three natural frequencies (with clamped root) for the mesh computed with OpenMCAD[(cite:Kojtych_2022_gene_aubes)]:

Mode	Type	Natural angular frequency (rad/sec)	Natural frequency (Hz)
1	1B	2781.095	442.625
2	2B	7272.47	1157.45
3	1T	10993.56	1749.68

Initial blade

The **initial blade** is defined with in-house LAVA parameters[(cite:Kojtych_2022_Methodology)] computed

from the reference blade CAD model. The initial blade is usually used as starting point for an optimization process. Its geometry is similar to the one of the reference blade.

Natural frequencies

First three natural frequencies (with clamped root)

- from the whole mesh:

Mode	Type	Natural angular frequency (rad/sec)	Natural frequency (Hz)
1	1B	2773.988	441.494
2	2B	7262.86	1155.92
3	1T	10987.09	1748.65

- from the reduced order model:

Mode	Type	Natural angular frequency (rad/sec)	Natural frequency (Hz)
1	1B	2774.422	441,563
2	2B	7266.25	1156,46
3	1T	10995.95	

Fichiers téléchargeables
×

Libre accès

lien vers le projet Git

À propos

Le rotor 55 fait partie d'un programme de recherche visant à étudier les étages de soufflante susceptibles d'être utilisés dans des moteurs d'avions plus silencieux. Des études expérimentales ont été menées sur des étages de soufflante utilisant un volet à soufflage externe. L'utilisation de tel volets nécessite un grand débit d'air à faible vitesse pour une portance efficace et un faible niveau de bruit au décollage et à l'atterrissage. Pour répondre à cette exigence de faible bruit, les soufflantes devront avoir une faible vitesse en tête et un faible taux de compression. Les taux de compression d'intérêt dans le programme varient de 1,15 à 1,4. Le rotor 55 possède un taux de compression de 1,2.

- Rapport technique original [(cite:lewis1973design>)]:

```
 @TechReport{lewis1973design,
  author           = {Lewis, George W. and Moore, R. D. and Kovich,
George},
  date             = {1973},
  institution      = {NASA Lewis Research Center Cleveland, OH, United
States},
  title            = {Performance of a 1.20-pressure-ratio STOL fan stage
at three rotor blade setting angles},
  number           = {NASA-TM X-2837},
```

```
  url              = {https://ntrs.nasa.gov/citations/19730018974},
}
```

- Photographie :



Fig1. https://catalog.archives.gov/id/17426841

- ```
  @Misc{marton1975records,
  author   = {Marton, J.},
  title    = {STOL short take off landing 55 GE General Electric 15 blade
  rotor showing blade damage. {R}ecords of the {N}ational {A}eronautics and
  {S}pace {A}dministration, 1903 - 2006. {P}hotographs relating to agency
  activities, facilities and personnel, 1973 - 2013},
  year     = {1975},
  url      = {https://catalog.archives.gov/id/17426841}
  ```

Documents utiles

- modèles téléchargeables (lien vers projet Git)
  - rapport technique original de la NASA (.pdf)
  - fichier de paramètres géométriques (.csv), utilisable en entrée de OpenMCAD[(cite:Kojtych_2022_gene_aubes>)] pour générer l'aube de référence

Aube de référence

L'**aube de référence** est définie par des profils de type arcs circulaires multiples[(cite:Crouse_1969_computer>Crouse *et al*. «A computer program for composing compressor blading from simulated circular-arc elements on conical surfaces » 1969. NASA-TN-D-5437. pdf)], donnés
  ```

dans le rapport technique original de la NASA[(cite:lewis1973design)]. Les modèles associés sont obtenus avec le code en libre accès OpenMCAD[(cite:Kojtych_2022_gene_aubes)].

Géométrie

La géométrie du rotor 55 est décrite dans le rapport d'origine de la NASA par les tableaux suivants. Les grandeurs sont en centimètres et en degrés.

TABLE IV. - BLADE GEOMETRY FOR ROTOR 55

RP	PERCENT SPAN	RADII RI	RADII RO	BLADE ANGLES KIC	BLADE ANGLES KTC	BLADE ANGLES KOC	CONE ANGLE
TIP	0.	25.400	25.400	50.40	41.08	32.00	0.057
1	5.	24.730	24.714	50.29	38.96	27.64	-0.124
2	10.	24.026	24.028	50.05	37.05	24.05	0.057
3	15.	23.323	23.343	49.67	35.44	21.21	0.152
4	30.	21.172	21.285	47.72	30.64	13.56	0.892
5	50.	18.320	18.542	43.95	24.18	4.41	1.806
6	70.	15.539	15.799	39.62	17.42	-4.79	2.239
7	85.	13.541	13.741	34.40	11.69	-11.02	1.813
8	90.	12.907	13.056	32.39	9.69	-13.01	1.375
9	95.	12.288	12.370	30.27	7.66	-14.95	0.769
HUB	100.	11.684	11.684	28.06	5.61	-16.84	0.057

RP	BLADE THICKNESSES TI	BLADE THICKNESSES TM	BLADE THICKNESSES TO	AXIAL DIMENSIONS ZI	AXIAL DIMENSIONS ZMC	AXIAL DIMENSIONS ZTC	AXIAL DIMENSIONS ZO
TIP	0.019	0.239	0.019	-0.636	2.690	2.690	6.522
1	0.025	0.264	0.025	-0.671	2.650	2.650	6.546
2	0.031	0.293	0.031	-0.685	2.639	2.639	6.588
3	0.036	0.326	0.036	-0.680	2.658	2.658	6.644
4	0.050	0.441	0.050	-0.659	2.648	2.648	6.597
5	0.063	0.591	0.063	-0.572	2.669	2.669	6.455
6	0.083	0.741	0.083	-0.371	2.753	2.753	6.284
7	0.091	0.839	0.091	-0.206	2.824	2.824	6.116
8	0.090	0.862	0.090	-0.142	2.852	2.852	6.057
9	0.088	0.881	0.088	-0.073	2.881	2.881	5.998
HUB	0.084	0.896	0.084	0.	2.912	2.912	5.938

Caractéristiques aérodynamiques

	unités	valeurs
taux de compression	[-]	1,2
débit massique	[kg/s]	31,2
vitesse en tête	[m/s]	213,3
solidité en tête	[-]	0,89
allongement	[-]	1,43
nombre d'aubes	[-]	15
vitesse de rotation	[rad/s]	839,85

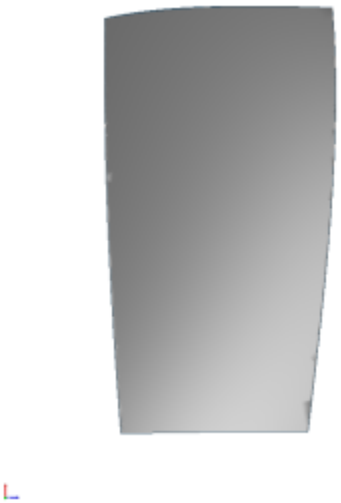
Propriétés matériau

Le matériau original du rotor 55 n'est pas défini dans le rapport de la NASA. Un alliage de titane Ti-6Al-4v est considéré :

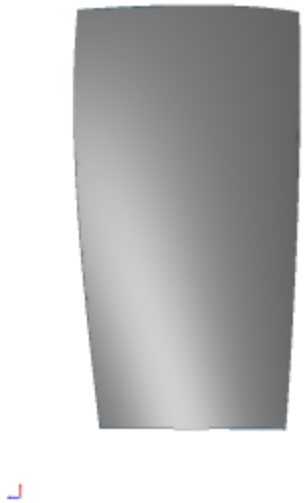
	unité	valeurs
alliage	[-]	Ti-6Al-4v
module d'Young	[GPa]	108
masse volumique	[kg/m3]	4400
coefficient de Poisson	[-]	0,34
limite élastique	[GPa]	0,824

Modèle CAO

Le modèle CAO est obtenu avec OpenMCAD[(cite:Kojtych_2022_gene_aubes)].



intrados



extrados

Fréquences propres

Fréquences des trois premiers modes (noeuds du pied d'aube encastrés) pour le maillage obtenu avec OpenMCAD[(cite:Kojtych_2022_gene_aubes)] :

Mode	Type	Pulsation propre (rad/sec)	Fréquence propre (Hz)
1	1B	2781,095	442,625
2	2B	7272,47	1157,45
3	1T	10993,56	1749,68

Aube initiale

L'**aube initiale** est définie par des paramètres spécifiques au LAVA[(cite:Kojtych_2022_Methodology>Kojtych S. *et al*. «Methodology for the Redesign of Compressor Blades Undergoing Nonlinear Structural Interactions: Application to Blade-Tip/Casing Contacts » 2022. Journal of Engineering for Gas Turbines and Power, Vol. 145, No. 5. pdf)] obtenus à partir du modèle CAO de l'aube de référence. L'aube initiale est classiquement utilisée comme point de départ dans le cadre de procédures d'optimisation; sa géométrie est similaire à celle de l'aube de référence.

Fréquences propres

Fréquences des trois premiers modes (noeuds du pied d'aube encastrés),

- pour le maillage complet :

Mode	Type	Pulsation propre (rad/sec)	Fréquence propre (Hz)
1	1B	2773,988	441,494
2	2B	7262,86	1155,92
3	1T	10987,09	1748,65

- pour le modèle réduit :

Mode	Type	Pulsation propre (rad/sec)	Fréquence propre (Hz)
1	1B	2774,422	441,563
2	2B	7266,25	1156,46
3	1T	10995,95	1750,06

Document issu de la page wiki:
https://wiki.lava.polymtl.ca/public/modeles/rotor_55/accueil?rev=1680808972

Dernière mise à jour: **2023/04/06 15:22**